

Campi armonici

Se le sorgenti cambiano nel tempo sinusoidalmente, con pulsazione ω

$$\mathbf{J}(x, y, z, t) = \mathbf{J}(x, y, z) \cos(\omega t)$$

$$\rho(x, y, x, t) = \rho(x, y, z) \cos(\omega t + \alpha)$$

Allora, in un mezzo lineare, anche il campo e.m. varierà nel tempo con legge sinusoidale, con la medesima pulsazione ω

Prendendo l'onda progressiva:

$$E_x^+(z, t) = f^+\left(t - \frac{z}{v}\right)$$

In $z=0$

$$E_x^+(z=0, t) = f^+(t) = E_0^+ \cos(\omega t)$$

Quindi, sostituendo a t $(t-z/v)$, otteniamo

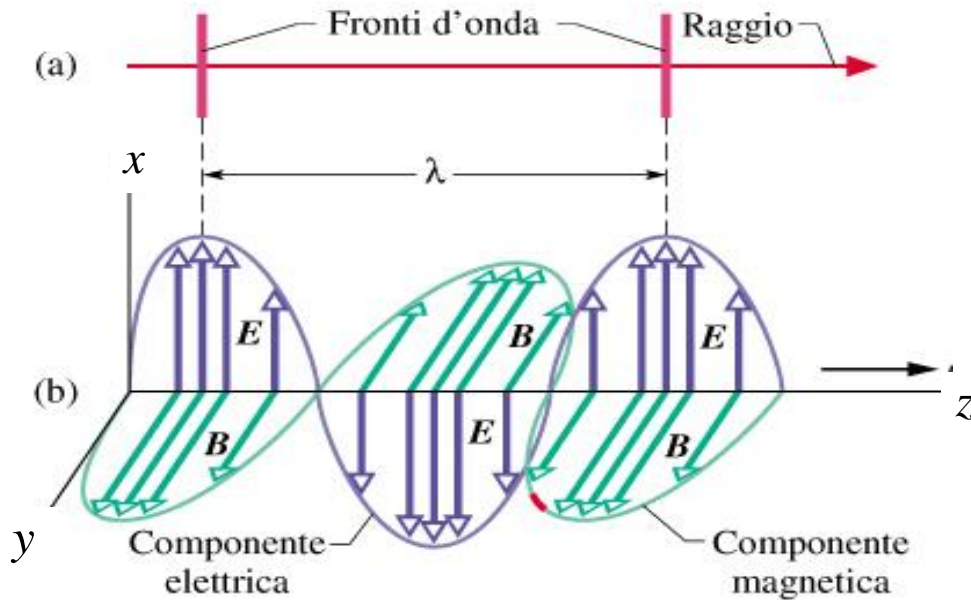
$$E_x^+(z, t) = f^+(t - z/v) = E_0^+ \cos[\omega(t - z/v)]$$

$$= E_0^+ \cos(\omega t - kz)$$

$$k = \omega / v$$

Fotografia in $t=t_0$

$$\mathbf{E}(z, t) = \mathbf{u}_x E_0^+ \cos(\omega t - kz)$$



Lunghezza d'onda

$$\lambda = \frac{2\pi}{k} = \frac{2\pi}{\omega} v = \frac{v}{f}$$

Dominio della frequenza

$$\begin{aligned} E_x^\pm &= \operatorname{Re} \left\{ E_0^\pm \exp \left[j(\omega t \mp kz) \right] \right\} = \\ &= \operatorname{Re} \left\{ E_0^\pm \exp(\mp jkz) \exp(j\omega t) \right\} \end{aligned}$$

$$= \operatorname{Re} \left\{ \hat{E}_x^\pm \exp(j\omega t) \right\}$$

\hat{E}_x è detto FASORE

Se i campi sono armonici

$$\begin{aligned}\partial_t E_x^\pm &= \partial_t \operatorname{Re} \left\{ \hat{E}_x^\pm \exp(j\omega t) \right\} = \\ &= \operatorname{Re} \left\{ \hat{E}_x^\pm \partial_t \exp(j\omega t) \right\} = \\ &= \operatorname{Re} \left\{ \hat{E}_x^\pm j\omega \exp(j\omega t) \right\} \\ &= \operatorname{Re} \left\{ j\omega \hat{E}_x^\pm \exp(j\omega t) \right\}\end{aligned}$$

$$\partial_t^2 E_x^\pm = \partial_t \left(\partial_t E_x^\pm \right) = \operatorname{Re} \left\{ -\omega^2 \hat{E}_x^\pm \exp(j\omega t) \right\}$$

Equazione d'onda per i fasori

$$\frac{\partial^2 \operatorname{Re} \left\{ \hat{E}_x \exp(j\omega t) \right\}}{\partial z^2} = \mu \varepsilon \frac{\partial^2 \operatorname{Re} \left\{ \hat{E}_x \exp(j\omega t) \right\}}{\partial t^2}$$

$$= -\omega^2 \mu \varepsilon \operatorname{Re} \left\{ \hat{E}_x \exp(j\omega t) \right\}$$

Vera se:

$$\frac{\partial^2 \hat{E}_x}{\partial z^2} = -\omega^2 \mu \varepsilon \hat{E}_x$$

$$\hat{E}_x = \hat{E}_x^+ + \hat{E}_x^- = E_0^+ e^{-jkz} + E_0^- e^{jkz}$$

$$k^2 = \omega^2 \mu \varepsilon$$

$$\eta \hat{H}_y = E_0^+ e^{-jkz} - E_0^- e^{jkz}$$

Esercizio- Un'onda elettromagnetica piana armonica (o sinusoidale), di frequenza $f=100$ KHz, con il campo elettrico diretto lungo y , si propaga nel verso positivo dell'asse x , in un mezzo omogeneo $\mu_r = 1$; $\epsilon_r = 3$.

$$\text{a } 100 \text{ KHz} \rightarrow k_0 = \omega_0 \sqrt{\mu_0 \epsilon_0} = 20.958 \text{ m}^{-1}$$

Calcolare:

1) v

2) l'ampiezza del campo magnetico H , sapendo che l'ampiezza del campo elettrico $E=10$ V/m

3) l'espressione nel tempo di E e di H , se all'istante

$\bar{t}=7.5 \mu\text{s}$ nel punto di ascissa $\bar{x}=57$ m $\mathbf{E}(\bar{x},y,z,\bar{t})=\mathbf{u}_y 10$ V/m

$$1) \quad v = \frac{1}{\sqrt{\mu\epsilon}} \text{ m/s} = \frac{c_0}{\sqrt{\epsilon_r}} \text{ m/s} = 1.73 \cdot 10^8 \text{ m/s}$$

$$k=2\pi f\sqrt{\mu\epsilon} = 20.958\sqrt{\epsilon_r} 10^{-4} \text{ m}^{-1}$$

Essendo l'onda sinusoidale e progressiva, il campo elettrico deve avere forma:

$$\mathbf{E}(x,y,z,t) = \mathbf{u}_y E \cos(\omega t - kx - \alpha) = \mathbf{u}_y [E_c \cos(\omega t - kx) + E_s \sin(\omega t - kx)]$$

considero entrambe le situazioni di seno e coseno

Il campo magnetico si ottiene considerando che:

$$\nabla \times \mathbf{E} = -\mu_0 \partial_t \mathbf{H}$$

$$\mathbf{u}_z \partial_x [E \cos(\omega t - kx - \alpha)] = \mathbf{u}_z k [E \sin(\omega t - kx - \alpha)] = -\mu_0 \partial_t \mathbf{H}$$

Pertanto

$$\mathbf{H} = \frac{k}{\omega \mu_0} \mathbf{u}_z [E \cos(\omega t - kx - \alpha)] = \frac{\sqrt{\epsilon_r}}{\eta_0} \mathbf{u}_z [E \cos(\omega t - kx - \alpha)] = \mathbf{u}_z [H \cos(\omega t - kx - \alpha)]$$

$$H = E \frac{\sqrt{\epsilon_r}}{\eta_0} = 10 \text{ V/m} \cdot 1.732 / 377 \Omega \cong 0.046 \text{ A/m}$$

Quindi, l'espressione del campo magnetico è

$$\mathbf{H} = \frac{1}{\eta} \mathbf{u}_x \times \mathbf{E}$$

Ovvero, i vettori \mathbf{E} , \mathbf{H} , \mathbf{u}_x formano una terna ortogonale destrorsa

2)

$$H = \frac{E}{\eta} = \frac{10 \sqrt{3}}{377} = 0.046 \text{ A/m}$$

$$B = \mu_0 H = 4 \cdot \pi \cdot 10^{-7} \cdot 0.046 \text{ A/m} = 5.77 \cdot 10^{-8} \text{ Wb/m}^2$$

3)

$$\mathbf{E}(\bar{x}, y, z, \bar{t}) = \mathbf{u}_y 10 \text{ V/m} = \mathbf{u}_y 10 \text{ V/m} \cos(\omega \bar{t} - k \bar{x} - \alpha)$$

Ne consegue che: $\omega \bar{t} - k \bar{x} - \alpha = 2n\pi$

$$\alpha = \omega \bar{t} - k \bar{x} - 2n\pi \text{ con } n \text{ arbitrario}$$

Se prendiamo $n=0$

$$\nabla \times \mathbf{E} = \begin{vmatrix} \mathbf{u}_x & \mathbf{u}_y & \mathbf{u}_z \\ \partial_x & \partial_y & \partial_z \\ 0 & E_y & 0 \end{vmatrix} = -\mathbf{u}_x \partial_z E_y + \mathbf{u}_z \partial_x E_y$$

$$\partial_z E_y = 0$$

$$\mathbf{H} = \frac{\mathbf{u}_z}{-\mu_0} \int dt (\partial_x E_y) = \mathbf{u}_z \frac{\frac{2 \cdot \pi \cdot f}{c} \cdot \frac{1}{2 \cdot \pi \cdot f} E_0 \cos \left[2 \cdot \pi \cdot f \cdot \left(\frac{x_1}{c} - t_1 \right) \right]}{\mu_0}$$

$$= \mathbf{u}_z \frac{1}{\eta} E_0 \cos \left[2 \cdot \pi \cdot f \cdot \left(\frac{x_1}{c} - t_1 \right) \right]$$

Equazioni di Maxwell per i fasori

*LE SORGENTI (e quindi i campi!!)
variano nel tempo sinusoidalmente*

$$\nabla \cdot \hat{\mathbf{H}} = 0$$

$$\nabla \times \hat{\mathbf{H}} = \hat{\mathbf{j}} + j\omega\epsilon \hat{\mathbf{E}}$$

$$\nabla \cdot \hat{\mathbf{E}} = \hat{\rho} / \epsilon$$

$$\nabla \times \hat{\mathbf{E}} = -j\omega\mu \hat{\mathbf{H}}$$

In assenza di sorgenti (le sorgenti ci sono eccome, sono sinusoidali e variano con pulsazione ω . Semplicemente non sono nella porzione di spazio che stiamo osservando!)

$$\nabla \times \hat{\mathbf{H}} = j\omega\epsilon \hat{\mathbf{E}}$$

$$\nabla \times \hat{\mathbf{E}} = -j\omega\mu \hat{\mathbf{H}}$$

$$\partial_x = \partial_y = 0$$

$$\frac{\partial \hat{E}_x}{\partial z} = -j\omega\mu \hat{H}_y$$

$$\frac{\partial \hat{E}_y}{\partial z} = j\omega\mu \hat{H}_x$$

$$\frac{\partial \hat{H}_y}{\partial z} = -j\omega\epsilon \hat{E}_x$$

$$\frac{\partial \hat{H}_x}{\partial z} = j\omega\epsilon \hat{E}_y$$

$$\hat{E}_z = \hat{H}_z = 0$$

Equazione di Helmholtz monodimensionale

$$\frac{\partial^2 \hat{E}_x}{\partial z^2} = -\omega^2 \mu \varepsilon \hat{E}_x$$

$$\hat{E}_x(z) = E_0^+ \exp(-jkz) + E_0^- \exp(+jkz)$$

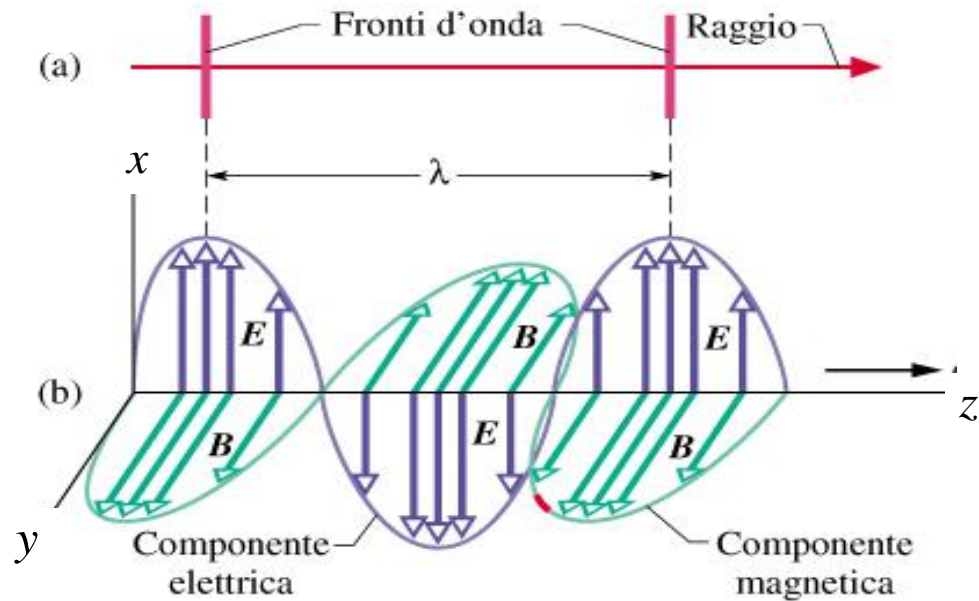
$$k = \omega \sqrt{\mu \varepsilon} \quad \text{NUMERO D'ONDA o COSTANTE DI FASE}$$

$$E_x(z, t) = \operatorname{Re} \left\{ \hat{E}_x(z) \exp(j\omega t) \right\} =$$

$$\operatorname{Re} \left\{ E_0^+ \exp[j(\omega t - kz)] + E_0^- \exp[j(\omega t + kz)] \right\} = \quad E_0^+ \text{ e } E_0^- \text{ reali}$$

$$= E_0^+ \cos(\omega t - kz) + E_0^- \cos(\omega t + kz) =$$

$$= E_0^+ \cos[\omega(t - z/v)] + E_0^- \cos[\omega(t + z/v)]$$



Il campo magnetico

$$\frac{\partial \hat{E}_x}{\partial z} = -j\omega\mu \hat{H}_y \Rightarrow \hat{H}_y = \frac{1}{-j\omega\mu} \frac{\partial \hat{E}_x}{\partial z}$$

$$\hat{E}_x(z) = E_0^+ \exp(-jkz) + E_0^- \exp(+jkz)$$

$$\begin{aligned} \hat{H}_y &= \frac{-jk}{-j\omega\mu} \left[E_0^+ \exp(-jkz) - E_0^- \exp(+jkz) \right] = \\ &= \sqrt{\frac{\varepsilon}{\mu}} \left[E_0^+ \exp(-jkz) - E_0^- \exp(+jkz) \right] \end{aligned}$$

Dal fasore di H a H(z,t)

$$H_y(z, t) = \text{Re} \left\{ \sqrt{\frac{\varepsilon}{\mu}} \left[E_0^+ \exp(-jkz) - E_0^- \exp(+jkz) \right] \exp(j\omega t) \right\} =$$

$$H_y(z, t) = \text{Re} \left\{ \sqrt{\frac{\varepsilon}{\mu}} \left[E_0^+ \exp[j(\omega t - kz)] - E_0^- \exp[j(\omega t + kz)] \right] \right\} =$$

$$H_y(z, t) = \frac{1}{\sqrt{\frac{\mu}{\varepsilon}}} \left[E_0^+ \cos(\omega t - kz) - E_0^- \cos(\omega t + kz) \right]$$

La quantità $\sqrt{\frac{\mu}{\varepsilon}} = \frac{j\omega\mu}{jk}$ viene detta impedenza d'onda

Usando una notazione vettoriale

$$\mathbf{E}(\mathbf{r}, t) = \mathbf{u}_x E_x(z, t) = \mathbf{u}_x \left\{ E_0^+ \cos[\omega(t - z/v)] + E_0^- \cos[\omega(t + z/v)] \right\}$$

$$\mathbf{H}(\mathbf{r}, t) = \mathbf{u}_y H_y(z, t) = \mathbf{u}_y \sqrt{\frac{\varepsilon}{\mu}} \left[E_0^+ \cos(\omega t - kz) - E_0^- \cos(\omega t + kz) \right]$$

$$\mathbf{H}^+(\mathbf{r}, t) = \frac{1}{\eta} \mathbf{u}_z \times \mathbf{E}^+(\mathbf{r}, t) = \frac{1}{\omega \mu_0} \mathbf{k} \times \mathbf{E}^+(\mathbf{r}, t) \quad \textit{essendo}$$

$$\mathbf{k} = k \mathbf{u}_z$$

$$kz = k \mathbf{u}_z \cdot \mathbf{r} = \mathbf{k} \cdot \mathbf{r} \quad \textit{Dove: } \mathbf{r} = x \mathbf{u}_x + y \mathbf{u}_y + z \mathbf{u}_z$$

$$\textit{Onda piana che si propaga in direzione } \mathbf{k} \quad \mathbf{H}^\pm(\mathbf{r}) = \pm \frac{1}{\eta} \mathbf{u}_k \times \mathbf{E}^\pm(\mathbf{r})$$

Propagazione di un'onda piana in direzione arbitraria \mathbf{k} Si suppone che \mathbf{E} e \mathbf{H} non cambino nel piano ortogonale a \mathbf{k}

$$\mathbf{E}(\mathbf{r}) = \mathbf{E}_0 e^{-j\mathbf{k} \cdot \mathbf{r}}$$

$$\mathbf{H}(\mathbf{r}) = \mathbf{H}_0 e^{-j\mathbf{k} \cdot \mathbf{r}}$$

$$\mathbf{k} = k_x \mathbf{u}_x + k_y \mathbf{u}_y + k_z \mathbf{u}_z$$

$$\mathbf{H}(\mathbf{r}) = \frac{1}{\eta} \mathbf{u}_k \times \mathbf{E}(\mathbf{r})$$

\Uparrow

Algebrizzazione eq Maxwell

$$\mathbf{H}_0 = \frac{1}{\omega\mu} \mathbf{k} \times \mathbf{E}_0$$

$$\mathbf{k} \times \mathbf{E}_0 = \omega\mu \mathbf{H}_0 \quad \Rightarrow \quad \mathbf{k} \times \mathbf{E}_0 \times \mathbf{k} = \omega^2 \mu\epsilon \mathbf{E}_0$$

$$- \mathbf{k} \times \mathbf{H}_0 = \omega\epsilon \mathbf{E}_0 \quad \Downarrow$$

$$\mathbf{k} \cdot \mathbf{H}_0 = 0 \quad (k^2 - \omega^2 \mu\epsilon) \mathbf{E}_0 = 0$$

$$\mathbf{k} \cdot \mathbf{E}_0 = 0 \quad \mathbf{E} \text{ ed } \mathbf{H} \text{ ortogonali a } \mathbf{k}$$

Polarizzazione

Un insieme di onde piane che si propagano nella stessa direzione, ma con orientazioni e fasi arbitrarie dei campi, generano un'onda **non polarizzata**

Consideriamo invece un'onda piana armonica con due componenti

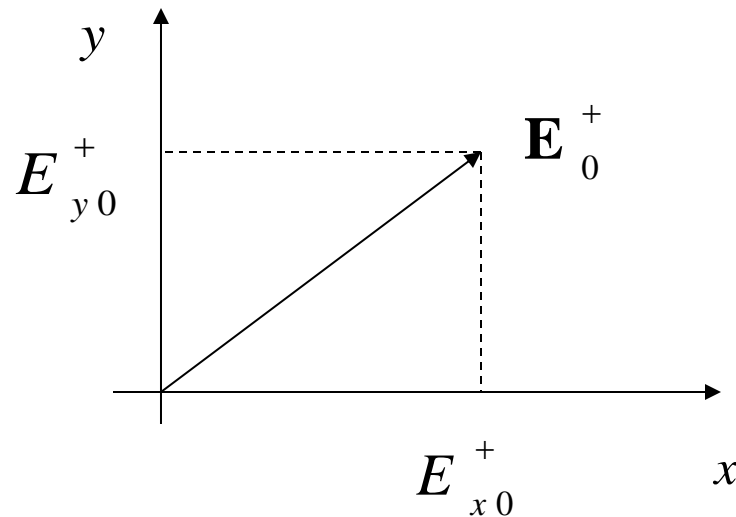
$$E_x(z, t) = E_{x0}^+ \cos [\omega (t - z / v)]$$

$$E_y(z, t) = E_{y0}^+ \cos [\omega (t - z / v) + \psi]$$

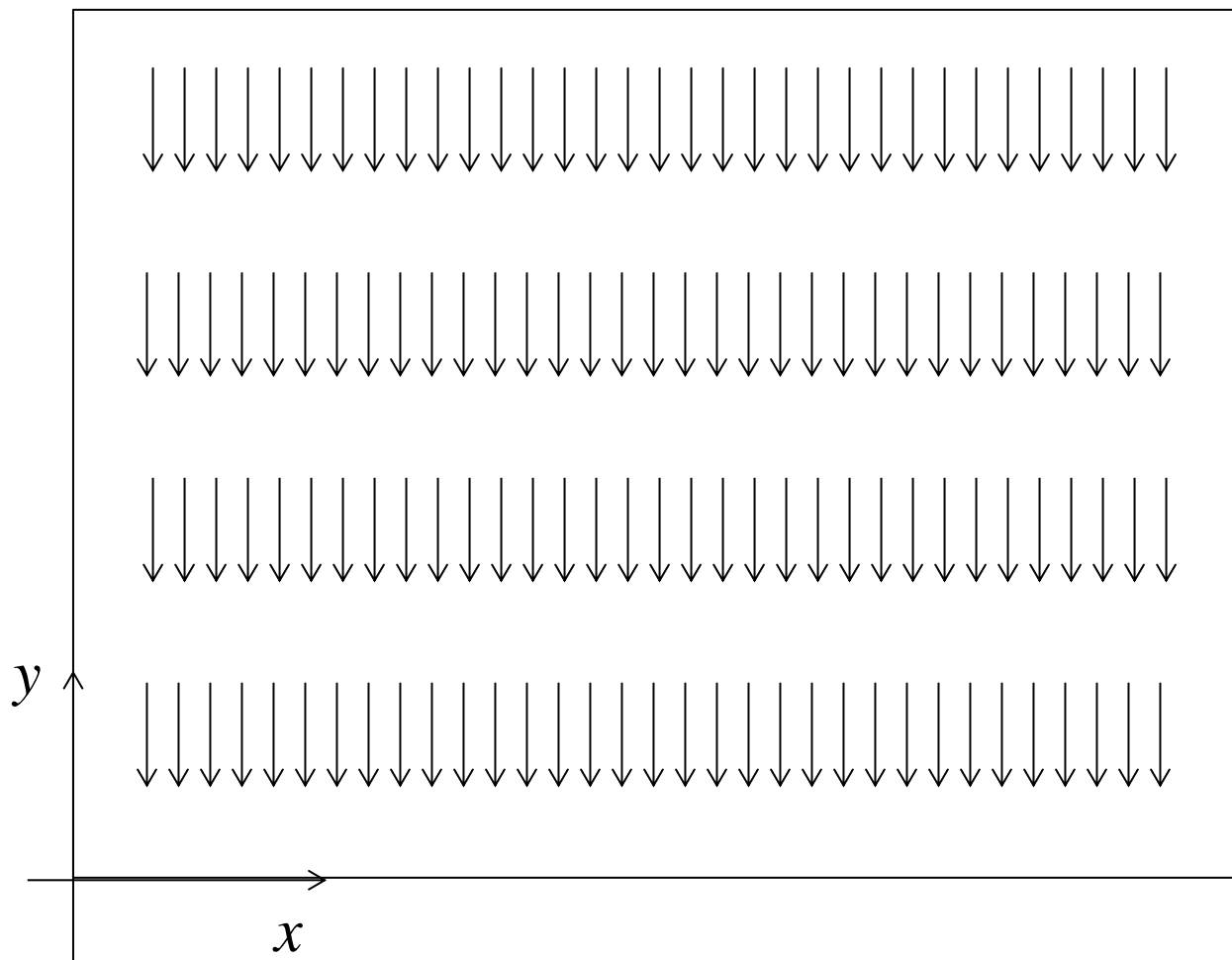
Polarizzazione lineare

$$\psi = 0$$

$$\begin{aligned} E_x(z, t) &= E_{x0}^+ \cos [\omega (t - z / v)] \\ E_y(z, t) &= E_{y0}^+ \cos [\omega (t - z / v)] \end{aligned} \Rightarrow \frac{E_x(z, t)}{E_y(z, t)} = \frac{E_{x0}^+}{E_{y0}^+}$$

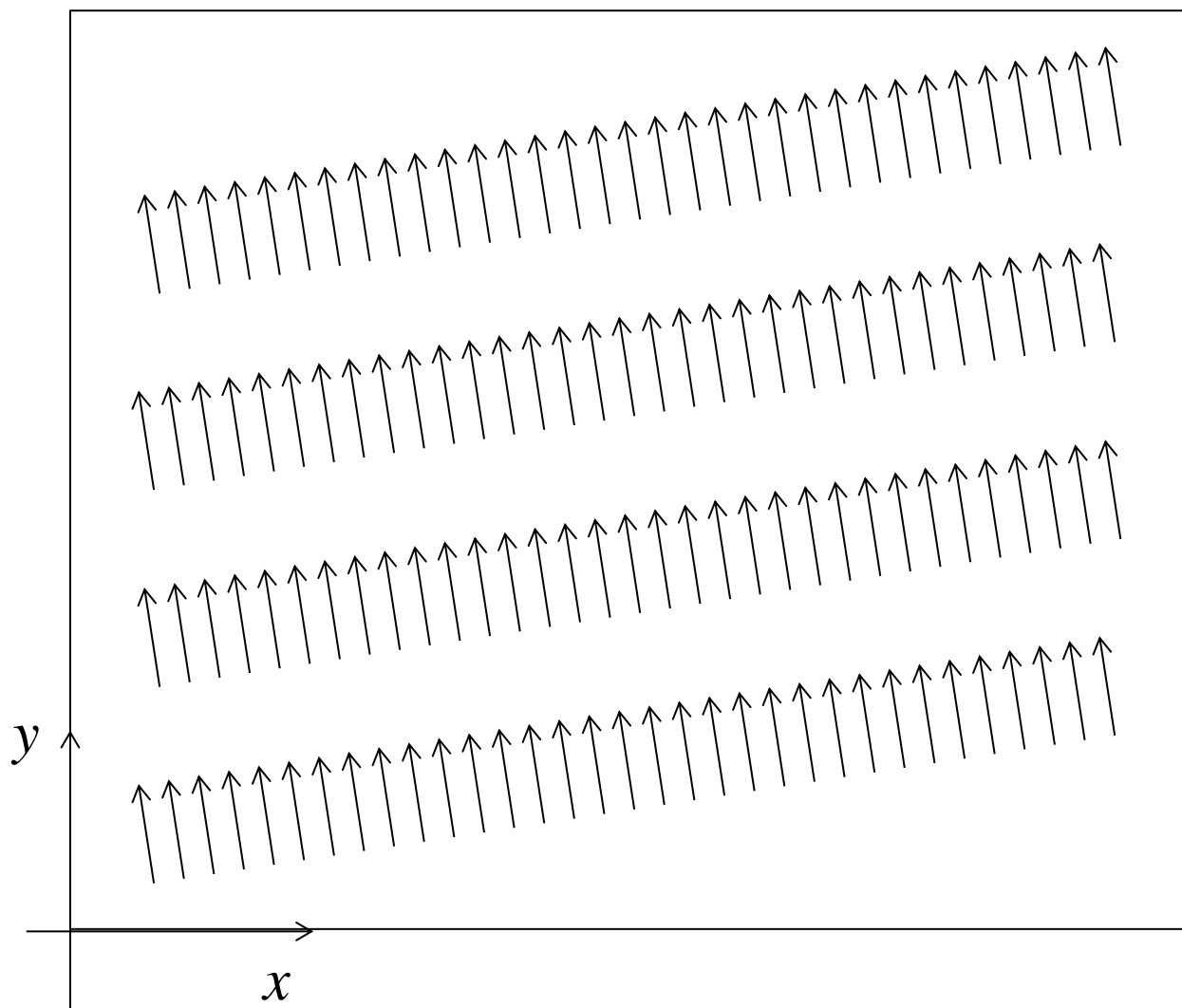


PORZIONE DI FRONTE D'ONDA PIANA POLARIZZATA LINEARMENTE



VISUALIZZAZIONE DEL CAMPO \mathbf{E} nei punti di applicazione dei vettori

PORZIONE DI FRONTE D'ONDA PIANA POLARIZZATA LINEARMENTE



VISUALIZZAZIONE DEL CAMPO \mathbf{E} nei punti di applicazione dei vettori

Polarizzazione circolare

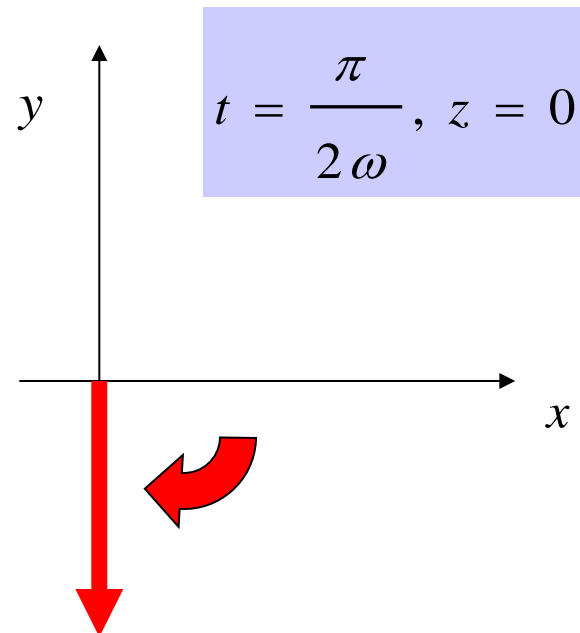
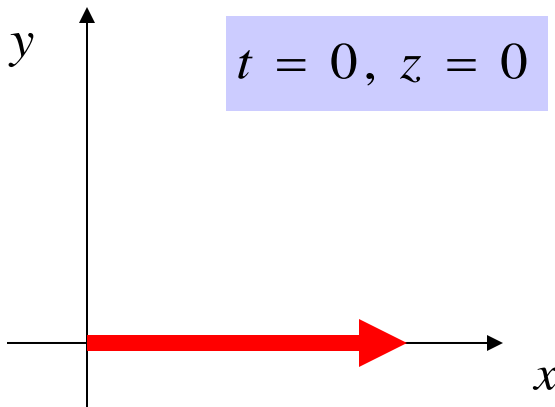
$$E_{x0}^+ = E_{y0}^+$$

$$\psi = \frac{\pi}{2}$$

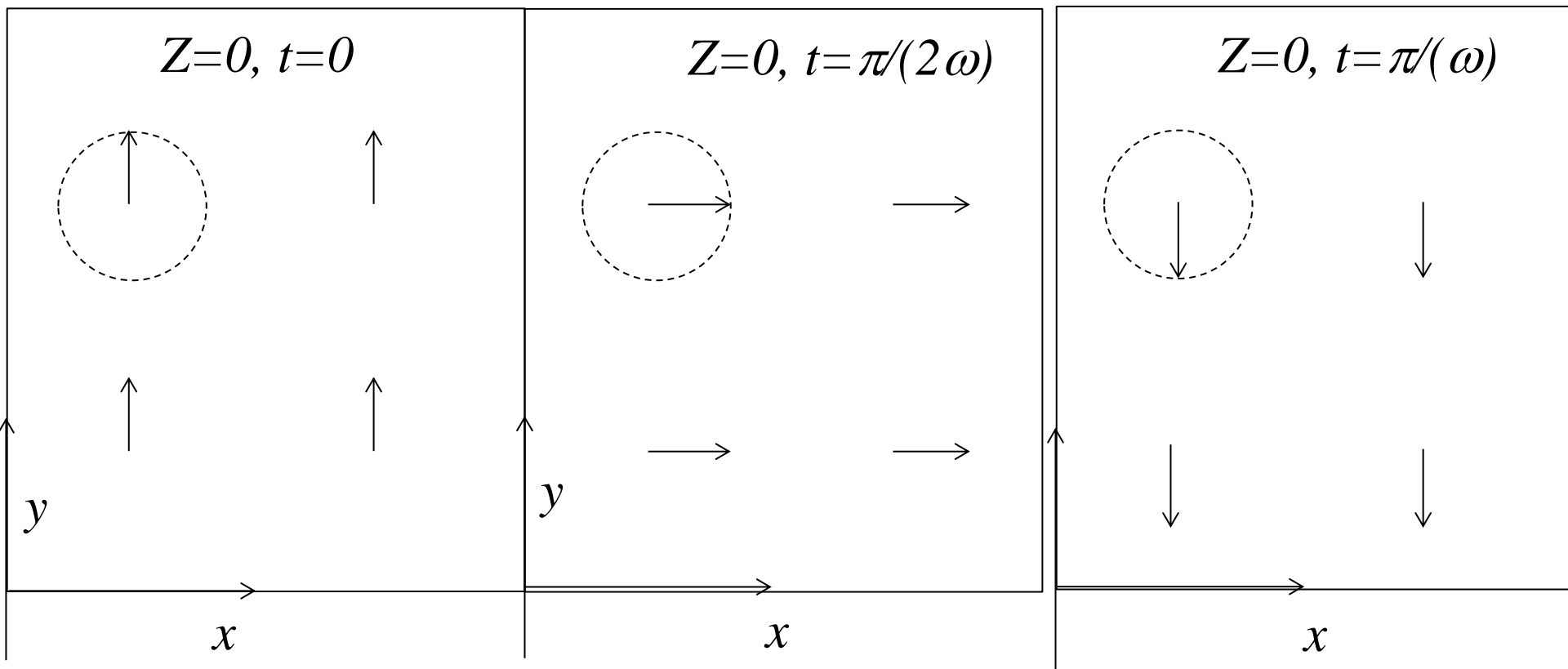
$$E_x(z, t) = E_{x0}^+ \cos [\omega (t - z / v)]$$

$$\Rightarrow E_x^2(z, t) + E_y^2(z, t) = E_{x0}^{+2}$$

$$E_y(z, t) = -E_{x0}^+ \sin [\omega (t - z / v)]$$



PORZIONE DI FRONTE D'ONDA PIANA POLARIZZATA CIRCOLARMENTE



VISUALIZZAZIONE DEL CAMPO \mathbf{E} nei punti di applicazione dei vettori

Polarizzazione ellittica

$$E_x(z,t) = E_{x0}^+ \cos(\omega t - kz)$$

$$E_y(z,t) = E_{y0}^+ \cos(\omega t - kz + \psi)$$

$$\bar{E}_x = \cos(\omega t - kz)$$

$$\bar{E}_y = \cos(\omega t - kz) \cos \psi - \sin(\omega t - kz) \sin \psi =$$

$$\bar{E}_x \cos \psi - \sqrt{1 - \bar{E}_x^2} \sin \psi$$

$$\Rightarrow \bar{E}_y^2 + \bar{E}_x^2 \cos^2 \psi - 2\bar{E}_x \bar{E}_y \cos \psi = (1 - \bar{E}_x^2) \sin^2 \psi$$

$$\Rightarrow \bar{E}_y^2 + \bar{E}_x^2 - 2\bar{E}_x \bar{E}_y \cos \psi = \sin^2 \psi$$

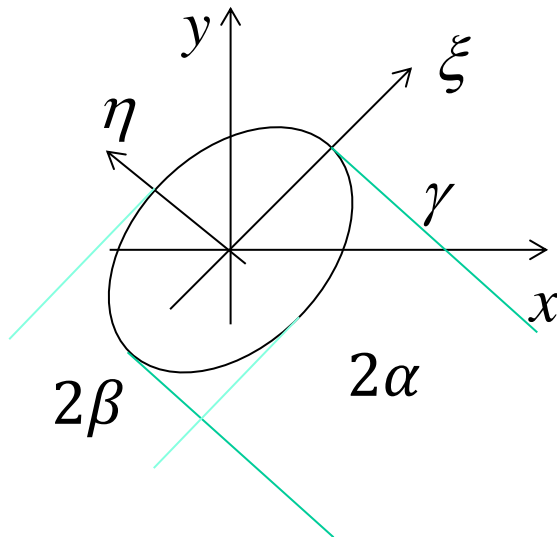
Dividendo per $\sin^2 \psi$

$$\check{E}_y^2 + \check{E}_x^2 - 2\check{E}_y \check{E}_x \cos \psi = 1$$

$$\check{E} = \bar{E} / \sin \psi$$

$$\left(\frac{\xi}{\alpha}\right)^2 + \left(\frac{\eta}{\beta}\right)^2 = 1$$

$$\begin{aligned}\xi(x, y) &= x \cos \gamma + y \sin \gamma \\ \eta(x, y) &= -x \sin \gamma + y \cos \gamma\end{aligned}$$



$$\begin{aligned}&\left(\frac{x \cos \gamma + y \sin \gamma}{\alpha}\right)^2 + \left(\frac{-x \sin \gamma + y \cos \gamma}{\beta}\right)^2 = 1 = \\&\left[\left(\frac{\cos \gamma}{\alpha}\right)^2 + \left(\frac{\sin \gamma}{\beta}\right)^2\right] x^2 + \left[\left(\frac{\sin \gamma}{\alpha}\right)^2 + \left(\frac{\cos \gamma}{\beta}\right)^2\right] y^2 + \left[\frac{1}{\alpha^2} - \frac{1}{\beta^2}\right] 2xy \sin \gamma \cos \gamma \\&= \check{E}_y^2 + \check{E}_x^2 - 2\check{E}_y \check{E}_x \cos \psi = 1\end{aligned}$$

Posto $x=E_x$ e $y=E_y$

$$\gamma = \frac{1}{2} \tan^{-1} \left[\frac{-2 \cos \psi / (E_{x0}^+ E_{y0}^+)}{1/E_{x0}^{+2} - 1/E_{y0}^{+2}} \right]$$

Rapporto Assiale (Axial Ratio)

$$AR = 20 \cdot \left| \log \left(\frac{\alpha}{\beta} \right) \right|$$

Teorema di Poynting

$$\begin{aligned}\int_{\partial V} \mathbf{E} \times \mathbf{H} \cdot \mathbf{n} \, dS &= \int_V \nabla \cdot (\mathbf{E} \times \mathbf{H}) \, dV = \\ &= - \int_V (\mathbf{E} \cdot \nabla \times \mathbf{H} - \mathbf{H} \cdot \nabla \times \mathbf{E}) \, dV = \\ &= - \int_V (\mathbf{E} \cdot (\mathbf{j} + \varepsilon \partial_t \mathbf{E}) - \mathbf{H} \cdot (-\mu_0 \partial_t \mathbf{H})) \, dV = \\ &= - \int_V \mathbf{E} \cdot \mathbf{j} \, dV - \frac{1}{2} \partial_t \left[\int_V \varepsilon_0 |\mathbf{E}|^2 + \int_V \mu_0 |\mathbf{H}|^2 \right]\end{aligned}$$

Teorema di Poynting II

$$\int_V \nabla \cdot \mathbf{S} dV + \frac{1}{2} \partial_t \left[\int_V \varepsilon_0 |\mathbf{E}|^2 + \int_V \mu_0 |\mathbf{H}|^2 \right] = - \int_V \mathbf{E} \cdot \mathbf{j} dV$$

$$- \int_{\partial V} \mathbf{S} \cdot \mathbf{n} dS = \frac{1}{2} \partial_t \left[\int_V \varepsilon_0 |\mathbf{E}|^2 + \int_V \mu_0 |\mathbf{H}|^2 \right] + \int_V \mathbf{E} \cdot \mathbf{j} dV$$

$$\text{dove} \quad \int_V \mathbf{E} \cdot \mathbf{j} dV = \int_V \mathbf{E} \cdot nq\mathbf{v} dV = \int_V \mathbf{E} \cdot nq\mathbf{v} dV = \int_V \mathbf{F} \cdot \mathbf{v} dV$$

n : numero di cariche per unità di volume, **F**: forza agente sulle cariche nell'unità di volume, **F** · **v** : potenza dissipata per unità di volume per effetto Joule

Teorema di Poynting: media temporale

$$\frac{1}{T} \int_0^T \int_{\partial V} \mathbf{S} \cdot \mathbf{n} dS dt + \frac{1}{T} \int_0^T \partial_t \left[\frac{1}{2} \int_V (\epsilon_0 |\mathbf{E}|^2 + \mu_0 |\mathbf{H}|^2) dV \right] dt +$$

$$+ \frac{1}{T} \int_0^T \left[\int_V (\mathbf{E} \cdot \mathbf{j}) dV \right] dt = 0$$

$$\omega = \frac{2\pi}{T}$$

$$|\mathbf{E}|^2 \propto \sin^2(\omega t + \phi)$$

$$\frac{1}{T} \int_0^T \frac{1}{2} \partial_t \left[\int_V \epsilon_0 |\mathbf{E}|^2 + \int_V \mu_0 |\mathbf{H}|^2 \right] dt = 0$$

Teorema di Poynting: media temporale

$$-\frac{1}{T} \int_0^T \int_{\partial V} \mathbf{S} \cdot \mathbf{n} dS dt = \frac{1}{T} \int_0^T \left[\int_V (\mathbf{E} \cdot \mathbf{j}) dV \right] dt$$

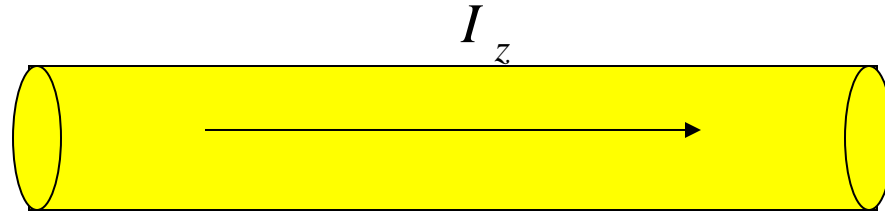
$$\frac{1}{T} \int_0^T \left[\int_V (\mathbf{E} \cdot \mathbf{j}) dV \right] dt = \frac{1}{T} \int_0^T \left[\int_V \operatorname{Re}(\hat{\mathbf{E}} e^{i\omega t}) \operatorname{Re}(\hat{\mathbf{j}} e^{i\omega t}) dV \right] dt =$$

=

$$\frac{1}{T} \int_0^T \left[\int_V (\hat{\mathbf{E}}_R \cos(\omega t) - \hat{\mathbf{E}}_I \sin(\omega t)) (\hat{\mathbf{j}}_R \cos(\omega t) - \hat{\mathbf{j}}_I \sin(\omega t)) dV \right] dt$$

$$= \frac{1}{2} \int_V (\hat{\mathbf{E}}_R \hat{\mathbf{j}}_R + \hat{\mathbf{E}}_I \hat{\mathbf{j}}_I) dV = \frac{1}{2} \operatorname{Re} \left[\int_V \hat{\mathbf{E}} \cdot \hat{\mathbf{j}}^* dV \right]$$

Perdite Ohmiche



$$\mathbf{E} = E_z \mathbf{u}_z = RI_z \mathbf{u}_z$$

R = resistenza per unità di lunghezza

$$\mathbf{H} = H_\phi \mathbf{u}_\phi = \frac{I_z}{2\pi r} \mathbf{u}_\phi$$

$$\mathbf{S} = \mathbf{E} \times \mathbf{H} = RI_z \mathbf{u}_z \times H_\phi \mathbf{u}_\phi = -RI_z \frac{I_z}{2\pi r} \mathbf{u}_r$$

$$\int_{\text{Cilindro}} \mathbf{S} \cdot \mathbf{u}_r ds = -RI_z \frac{I_z}{2\pi r} 2\pi r = -RI_z^2 = -W$$

Teorema di Poynting per i fasori

$$\nabla \times \hat{\mathbf{H}} = \hat{\mathbf{j}} + j\omega\epsilon \hat{\mathbf{E}}$$

$$\nabla \times \hat{\mathbf{E}} = -j\omega\mu \hat{\mathbf{H}}$$

$$\nabla \cdot (\hat{\mathbf{E}} \times \hat{\mathbf{H}}^*) = \hat{\mathbf{H}}^* \cdot \nabla \times \hat{\mathbf{E}} - \hat{\mathbf{E}} \cdot \nabla \times \hat{\mathbf{H}}^* =$$

$$= \hat{\mathbf{H}}^* \cdot (-j\omega\mu \hat{\mathbf{H}}) - \hat{\mathbf{E}} \cdot (\hat{\mathbf{j}}^* - j\omega\epsilon \hat{\mathbf{E}}^*) =$$

$$= -j\omega \left[\mu |\hat{\mathbf{H}}|^2 - \epsilon |\hat{\mathbf{E}}|^2 \right] - \hat{\mathbf{E}} \cdot \hat{\mathbf{j}}^* =$$

$$\int_{\partial V} \hat{\mathbf{E}} \times \hat{\mathbf{H}}^* \cdot \mathbf{n} dS = -j\omega \int_V \left[\mu |\hat{\mathbf{H}}|^2 - \epsilon |\hat{\mathbf{E}}|^2 \right] dV - \int_V \hat{\mathbf{E}} \cdot \hat{\mathbf{j}}^* dV$$

$$\int_{\partial V} \hat{\mathbf{E}} \times \hat{\mathbf{H}}^* \cdot \mathbf{n} dS = -j\omega \int_V \left[\mu \left| \hat{\mathbf{H}} \right|^2 - \varepsilon \left| \hat{\mathbf{E}} \right|^2 \right] dV - \int_V \hat{\mathbf{E}} \cdot \hat{\mathbf{j}}^* dV$$

Perdite ohmiche:

$$\hat{\mathbf{j}} = \sigma \hat{\mathbf{E}} \quad \Rightarrow \quad \int_V \hat{\mathbf{E}} \cdot \hat{\mathbf{j}}^* dV = \int_V \sigma \left| \hat{\mathbf{E}} \right|^2 dV$$

$$\frac{1}{2} \operatorname{Re} \left\{ \int_{\partial V} \hat{\mathbf{E}} \times \hat{\mathbf{H}}^* \cdot \mathbf{n} dS \right\} = -\frac{1}{2} \int_V \sigma \left| \hat{\mathbf{E}} \right|^2 dV = \overline{P}_{\text{joule}} \quad \begin{array}{l} \text{Potenza media} \\ \text{dissipata nel periodo} \end{array}$$

$$\overline{p} = \frac{1}{2} \operatorname{Re} \left\{ \hat{\mathbf{E}} \times \hat{\mathbf{H}}^* \right\} \text{ W/m}^2$$

Parte immaginaria

$$\mathrm{Im} \left\{ \int_{\partial V} \hat{\mathbf{E}} \times \hat{\mathbf{H}}^* \cdot \mathbf{n} dS \right\} = 4\omega \int_V \frac{1}{2} \left[\frac{1}{2} \varepsilon \left| \hat{\mathbf{E}} \right|^2 - \frac{1}{2} \mu \left| \hat{\mathbf{H}} \right|^2 \right] dV =$$

$$= 4\omega \left(\overline{U}_E - \overline{U}_H \right)$$

Potenza media in un'onda piana polarizzata linearmente

$$\hat{\mathbf{E}}(\mathbf{r}) = \mathbf{u}_x \left(E_0^+ \exp(-jkz) + E_0^- \exp(+jkz) \right)$$

$$\hat{\mathbf{H}}(\mathbf{r}) = \frac{1}{\eta} \mathbf{u}_y \left(E_0^+ \exp(-jkz) - E_0^- \exp(+jkz) \right)$$

$$\hat{\mathbf{E}} \times \hat{\mathbf{H}}^* = \frac{1}{\eta} \mathbf{u}_z \left(E_0^+ \exp(-jkz) + E_0^- \exp(+jkz) \right) \left(E_0^{+*} \exp(+jkz) - E_0^{-*} \exp(-jkz) \right) =$$

$$= \frac{1}{\eta} \mathbf{u}_z \left[\left(\left| E_0^+ \right|^2 - \left| E_0^- \right|^2 \right) + \left(- E_0^+ E_0^{-*} \exp(-2jkz) + E_0^- E_0^{+*} \exp(+2jkz) \right) \right] =$$

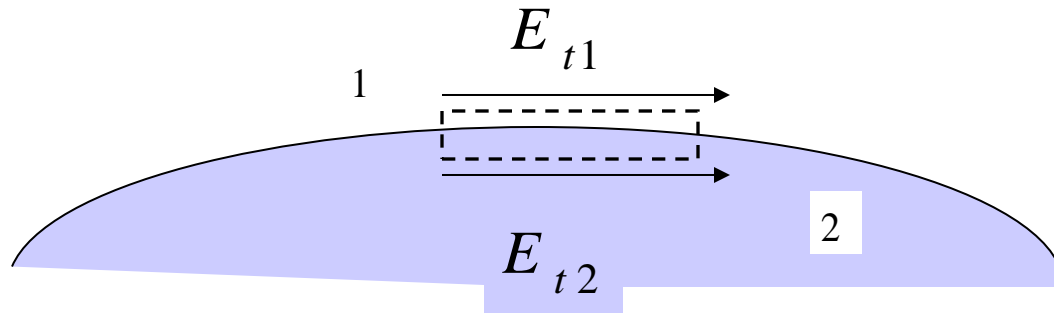
$$= \frac{1}{\eta} \mathbf{u}_z \left[\left(\left| E_0^+ \right|^2 - \left| E_0^- \right|^2 \right) + 2j \operatorname{Im} \left(E_0^- E_0^{+*} \exp(+2jkz) \right) \right]$$

Potenza media in un'onda piana polarizzata linearmente II

$$\frac{1}{2} \operatorname{Re} \left(\hat{\mathbf{E}} \times \hat{\mathbf{H}}^* \right) = \frac{1}{2\eta} \mathbf{u}_z \left(\left| E_0^+ \right|^2 - \left| E_0^- \right|^2 \right)$$

$$\operatorname{Im} \left(\hat{\mathbf{E}} \times \hat{\mathbf{H}}^* \right) = \frac{1}{\eta} \mathbf{u}_z 2 \operatorname{Im} \left(E_0^- E_0^{+*} \exp(+2jkz) \right)$$

Condizioni di continuità dei campi: E tangenziale



$$\oint \mathbf{E} \cdot d\mathbf{l} = (E_{t1} - E_{t2})\Delta l = -\partial_t \Phi_B = 0$$

$$\Rightarrow E_{t1} = E_{t2}$$

Condizioni di continuità dei campi: \mathbf{H} tangenziale

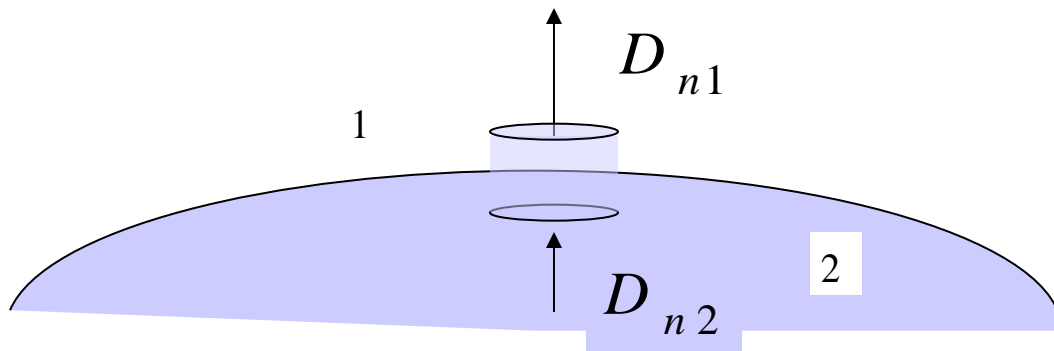
Analogamente,

$$\oint \mathbf{H} \cdot d\mathbf{l} = (H_{t1} - H_{t2})\Delta l = j_s \Delta l + \partial_t \Phi_D$$

$$\Phi_D = 0 \quad \Rightarrow \quad H_{t1} - H_{t2} = j_s$$

$$\Phi_D = 0 \quad j_s = 0 \quad H_{t1} = H_{t2}$$

Condizioni di continuità dei campi: componenti normali



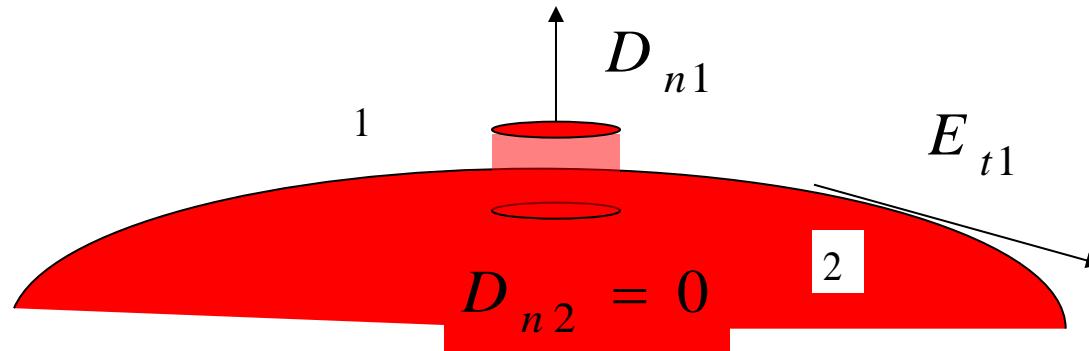
$$(D_{n1} - D_{n2})\Delta S = \sigma\Delta S \Rightarrow D_{n1} - D_{n2} = \sigma$$

$$\text{Se } \sigma = 0 \quad D_{n1} = D_{n2} \Rightarrow \varepsilon_1 E_{n1} = \varepsilon_2 E_{n2}$$

$$\text{Analogamente, } B_{n1} = B_{n2} \Rightarrow \mu_1 H_{n1} = \mu_2 H_{n2}$$

Condizioni al contorno sulla superficie di un conduttore

$\mathbf{E} = 0$ nel conduttore ideale



$$D_{n1} = \sigma \quad B_{n1} = 0 = \mu_1 H_{n1} = 0$$

$$E_{t1} = 0 \quad H_{t1} = j_s$$